

# ロッキニア"を考慮した多自由度系の振動について

北海道開拓局土木試験所 正員 井藤 昭夫

## 1. 本文概述

高橋脚を有する橋梁、あるいは深い歎張地盤に長尺のクリス下部構造に採用される連続構造の橋梁が各地に架設されてからすでに数十年。これらの構造物の振動応答を解析する場合、一枚の水平動の方程式を対象とすることが多く、二つでは橋梁の中貫方向にフリス、水平動とロッキニア"の合成振動を考察する。取扱いは簡単にすくため橋梁の支点上に剛体を集中載荷しておき、これが水平および垂直方向で支障となるものとする。

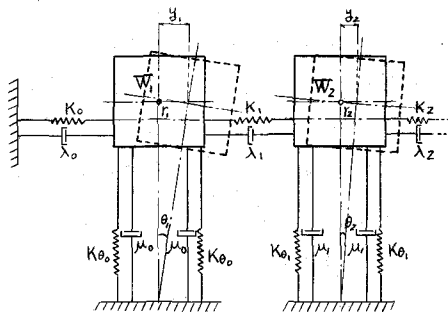
振動応答の水平変位と角度の二つの変数による連立微分方程式により求められると、基準座標を用いてより各剛体の振動を独立に分離することができる。この分離した微分方程式に対するアーリス変換、逆アーリス変換の近似的解法を用いて過渡挙動の応答を求めた。

本文はこのようにして方法と応答を求めたものである。

## 2. 振動方程式とその解

外力として地震動の水平成分の方を考慮すると各剛体の振動の微分方程式は次のようになります。

ここで各剛体は二個の垂直重心の強度は互いに等しいものとし、水平重心は各剛体の重心より下の位置であるものとします。二つ間の距離を $\lambda_1$ とし、剛体重量を $W_1$ 、減衰係数は水平動に対して $\lambda_1$ 、ロッキニア"に対する $\mu_{1n}$ とす。また $I_{qn}$ は重心のまわりの質量慣性モーメントを示す。



$$\frac{W_1}{g} \ddot{y}_1 + K_0(y_1 - r_1 \theta_1) + K_1 \{(y_1 - r_1 \theta_1) - (y_2 - r_2 \theta_2)\} + 2\lambda_0(y'_1 - r_1 \theta_1) + 2\lambda_1(y'_1 - r_1 \theta_1) - (y'_2 - r_2 \theta_2) = -\frac{W_1}{g} \ddot{x}_1 \quad (1)$$

$$\frac{W_2}{g} \ddot{y}_2 + K_1 \{(y_2 - r_2 \theta_2) - (y_1 - r_1 \theta_1)\} + K_2 \{(y_2 - r_2 \theta_2) - (y_3 - r_3 \theta_3)\} + 2\lambda_1(y'_2 - r_2 \theta_2) - (y'_1 - r_1 \theta_1) + 2\lambda_2(y'_2 - r_2 \theta_2) - (y'_3 - r_3 \theta_3) = -\frac{W_2}{g} \ddot{x}_2 \quad (1)$$

$$\frac{W_n}{g} \ddot{y}_n + K_{n-1} \{(y_{n-1} - r_{n-1} \theta_{n-1}) - (y_n - r_n \theta_n)\} + K_n \{(y_n - r_n \theta_n) - (y_{n+1} - r_{n+1} \theta_{n+1})\} + 2\lambda_{n-1} \{(y'_{n-1} - r_{n-1} \theta_{n-1}) - (y'_n - r_n \theta_n)\} + 2\lambda_n \{(y'_n - r_n \theta_n) - (y'_{n+1} - r_{n+1} \theta_{n+1})\} = -\frac{W_n}{g} \ddot{x}_n \quad (1)$$

$$I_{q_n} \ddot{\theta}_n + K_{0n} \theta_n - K_0(y_1 - r_1 \theta_1) r_1 - K_1 \{(y_1 - r_1 \theta_1) r_1 - (y_2 - r_2 \theta_2) r_2\} - 2M_0(y'_1 - r_1 \theta_1) - 2M_1(y'_1 - r_1 \theta_1) r_1 - 2M_2(y'_2 - r_2 \theta_2) r_2 = 0 \quad (2)$$

$$I_{q_n} \ddot{\theta}_n + K_{0n} \theta_n - K_1 \{(y_2 - r_2 \theta_2) r_2 - (y_1 - r_1 \theta_1) r_1\} - K_2 \{(y_2 - r_2 \theta_2) r_2 - (y_3 - r_3 \theta_3) r_3\} - 2M_1(y'_2 - r_2 \theta_2) r_2 - (y'_1 - r_1 \theta_1) r_1 - 2M_2(y'_2 - r_2 \theta_2) r_2 - (y'_3 - r_3 \theta_3) r_3 = 0 \quad (2)$$

$$I_{q_n} \ddot{\theta}_n + K_{0n} \theta_n - K_{n-1} \{(y_{n-1} - r_{n-1} \theta_{n-1}) r_{n-1} - (y_n - r_n \theta_n) r_n\} - K_n \{(y_n - r_n \theta_n) r_n - (y_{n+1} - r_{n+1} \theta_{n+1}) r_{n+1}\} - 2M_{n-1}(y'_{n-1} - r_{n-1} \theta_{n-1}) r_{n-1} - 2M_n(y'_n - r_n \theta_n) r_n - (y'_{n+1} - r_{n+1} \theta_{n+1}) r_{n+1} = 0 \quad (2)$$

$$\begin{bmatrix} \frac{W}{g} & & & \\ & \ddots & & 0 \\ & & \frac{W_n}{g} & \\ b & & & \end{bmatrix} \hat{\Psi} + 2 \begin{bmatrix} \lambda_0 + \lambda_1, -\lambda_1, & & & 0 \\ -\lambda_1, \lambda_1 + \lambda_2, & & & \\ & \ddots & & \\ & & \ddots & -\lambda_{n-1} + \lambda_n \end{bmatrix} \hat{\Psi} + \begin{bmatrix} K_0 + K_1, -K_1, & & & 0 \\ -K_1, K_1 + K_2, & & & \\ & \ddots & & \\ & & & K_{n-1} + K_n \end{bmatrix} \hat{\Psi}$$

$$- 2 \begin{bmatrix} (\lambda_0 + \lambda_1) Y_1, -\lambda_1 Y_2, & & & 0 \\ -\lambda_1 Y_2, (\lambda_1 + \lambda_2) Y_2, & & & \\ & \ddots & & \\ & & & (\lambda_{n-1} + \lambda_n) Y_n \end{bmatrix} \hat{\Theta} + \begin{bmatrix} (K_0 + K_1) Y_1, -K_1 Y_2, & & & 0 \\ -K_1 Y_2, (K_1 + K_2) Y_2, & & & \\ & \ddots & & \\ & & & (K_{n-1} + K_n) Y_n \end{bmatrix} \hat{\Theta} = \begin{bmatrix} \frac{W}{g} & & & 0 \\ & \ddots & & \frac{W_n}{g} \\ & & 0 & \\ & & & 0 \end{bmatrix} \hat{\Xi} \quad (1)$$

$$\begin{bmatrix} I_{Q_1}, & & & 0 \\ & \ddots & & \\ & & I_{Q_n} & \\ 0 & & & \end{bmatrix} \hat{\Theta} + 2 \begin{bmatrix} (\mu_0 + \mu_1) Y_1^2, -\mu_1 Y_2^2, & & & 0 \\ -\mu_1 Y_1^2, (\mu_1 + \mu_2) Y_2^2, & & & \\ & \ddots & & \\ & & & (\mu_{n-1} + \mu_n) Y_n^2 \end{bmatrix} \hat{\Theta} + \begin{bmatrix} K_{B_0} + K_0 Y_1^2 + K_1 Y_2^2, -K_1 Y_2^2, & & & 0 \\ -K_1 Y_1^2, K_0 Y_1^2 + K_1 Y_2^2, & & & \\ & \ddots & & \\ & & & K_{B_{n-1}} + K_{n-1} Y_n^2 + K_n Y_{n+1}^2 \end{bmatrix} \hat{\Theta}$$

$$- 2 \begin{bmatrix} (\mu_0 + \mu_1) Y_1, -\mu_1 Y_2, & & & 0 \\ -\mu_1 Y_1, (\mu_1 + \mu_2) Y_2, & & & \\ & \ddots & & \\ & & & (\mu_{n-1} + \mu_n) Y_n \end{bmatrix} \hat{\Psi} - \begin{bmatrix} (K_0 + K_1) Y_1, -K_1 Y_2, & & & 0 \\ -K_1 Y_2, (K_1 + K_2) Y_2, & & & \\ & \ddots & & \\ & & & (K_{n-1} + K_n) Y_n \end{bmatrix} \hat{\Psi} = \begin{bmatrix} 0 & & & 0 \\ & \ddots & & 0 \\ & & 0 & \\ & & & 0 \end{bmatrix} \quad (2)$$

(1), (2) の定数の式より 2 式を (1) 式より代入して  $M, C_Y, K_Y, K_{Y0}, C_{Y0}, J, C_B, K_B, K_{B0}$  を計算する。また (1), (2) は次式のようになる。

$$(M)\{\hat{\Psi}\} + 2\{C_Y\}\{\hat{\Psi}\} + [K_Y]\{\hat{\Psi}\} - 2\{C_{Y0}\}\{\hat{\Theta}\} - [K_{Y0}]\{\hat{\Theta}\} = -[M]\{\hat{\Xi}\} \quad (3)$$

$$\{J\}\{\hat{\Theta}\} + 2\{C_B\}\{\hat{\Theta}\} + [K_B]\{\hat{\Theta}\} - 2\{C_{B0}\}\{\hat{\Psi}\} - [K_{B0}]\{\hat{\Psi}\} = \{0\} \quad (4)$$

(3), (4) 式を解くのを座標変換と対角化により 2 式を解む。

$\{\hat{\Psi}\} = [a]\{Q\}, \{\hat{\Theta}\} = [b]\{R\}, z = [a], [b] \rightarrow$  対称行列式より  $[a]^T, [b]^T, [a], [b]$  の転置  $\rightarrow$  4 式を表す。

$$(M)\{a\}\{\hat{Q}\} + 2\{C_Y\}[a]\{Q\} + [K_Y][a]\{Q\} - 2\{C_{Y0}\}[b]\{R\} - [K_{Y0}][b]\{R\} = -[M]\{\hat{\Xi}\} \quad (5)$$

$$\{J\}\{b\}\{\hat{R}\} + 2\{C_B\}[b]\{R\} + [K_B][b]\{R\} - 2\{C_{B0}\}[a]\{Q\} - [K_{B0}][a]\{Q\} = \{0\} \quad (6)$$

(5), (6) 式は左辺を  $[a]^T$  と、(4) 式は左辺を  $[b]^T$  と表す。

$$[a]^T[M][a]\{Q\} + 2[a]^T[C_Y][a]\{Q\} + [a]^T[K_Y][a]\{Q\} - 2[a]^T[C_{Y0}][b]\{R\} - [a]^T[K_{Y0}][b]\{R\} = -[a]^T[M]\{\hat{\Xi}\} \quad (5)$$

$$[b]^T[J][b]\{R\} + 2[b]^T[C_B][b]\{R\} + [b]^T[K_B][b]\{R\} - 2[b]^T[C_{B0}][a]\{Q\} - [b]^T[K_{B0}][a]\{Q\} = \{0\} \quad (6)$$

(5), (6) 式より  $[a]^T[a] = [A]^P, [a]^T[C_Y][a] = [C_Y]^P, [a]^T[K_Y][a] = [K_Y]^P, [a]^T[C_{Y0}][b] = [K_{Y0}], [a]^T[C_{Y0}][a] = [C_{Y0}], [b]^T[C_B][b] = [B]^P, [b]^T[C_B][b] = [C_B]^P, [b]^T[K_B][b] = [K_B]^P, [b]^T[K_{B0}][a] = [K_{B0}], [b]^T[C_{B0}][a] = [C_{B0}]$  となる。つまりこれらは右側の式より対角化する。

$$[A]^P\{\hat{Q}\} + 2[C_Y]^P\{Q\} + [K_Y]^P\{Q\} - 2[C_{Y0}]\{\hat{R}\} - [K_{Y0}]\{R\} = -[a]^T[M]\{\hat{\Xi}\} = -\{F\} \quad (5)$$

$$[B]^P\{\hat{R}\} + 2[C_B]^P\{R\} + [K_B]^P\{R\} - 2[C_{B0}]\{\hat{Q}\} - [K_{B0}]\{Q\} = \{0\} \quad (6)$$

(5), (6) 式より  $F_1 + F_2 + \dots + F_n =$  左側の式  $\{C_Y\}, [K_Y], [C_{Y0}], [K_{Y0}]$  は対角化により計算する。簡単なためこれらの対角要素は  $\lambda_1, \lambda_2, \dots, \lambda_n$  とする。 $\{C_B\}, [K_B], [C_{B0}], [K_{B0}]$  は次式で計算する。

$$A_{xx}\hat{Q}_{xx} + 2C_{Yx}\hat{Q}_{xx} + K_{Yx}\hat{Q}_{xx} - 2C_{Y0x}\hat{R}_{xx} - K_{Y0x}\hat{R}_{xx} = -F_{xx} \quad (7)$$

$$B_{xx}\hat{R}_{xx} + 2C_{Bx}\hat{R}_{xx} + K_{Bx}\hat{R}_{xx} - 2C_{B0x}\hat{Q}_{xx} - K_{B0x}\hat{Q}_{xx} = 0 \quad (8)$$

(7), (8) 式より  $\rightarrow$  ここでラプラス変換式。境界条件  $i \in Q_{\text{left},0} = Q_{\text{right},0} = 0$ ,  $R_{\text{left},0} = R_{\text{right},0} = 0$   
 $\therefore L(Q) = G_Y, L(R) = G_\theta$  とする。(以下 suffix  $i$  の省略する)

$$(S^2 + 2\frac{C_y}{A}S + \frac{K_y}{A})G_Y - (2\frac{C_\theta}{A}S + \frac{K_\theta}{A})G_\theta = -\frac{\Delta(F)}{A}, \quad (9)$$

$$(S^2 + 2\frac{C_\theta}{B}S + \frac{K_\theta}{B})G_\theta - (2\frac{C_y}{B}S + \frac{K_y}{B})G_Y = 0, \quad (10)$$

(9), (10) 式より  $\frac{C_y}{A} = G_A, \frac{K_y}{A} = K_{YA}, \frac{C_\theta}{A} = C_{\theta A}, \frac{K_\theta}{A} = K_{\theta A}$ ,  $\frac{C_y}{B} = C_{yB}, \frac{K_y}{B} = K_{yB}, \frac{C_\theta}{B} = C_{\theta B}, \frac{K_\theta}{B} = K_{\theta B}$   
 $\therefore i \in G_Y, G_\theta$  は連立して解く。

$$G_Y = -\frac{\Delta(F)}{A} \cdot \frac{(S^2 + 2C_{\theta B}S + K_{\theta B})}{\Delta}, \quad G_\theta = -\frac{\Delta(F)}{A} \cdot \frac{(S^2 + 2C_{y B}S + K_{y B})}{\Delta} \quad (11), (12)$$

ここで  $S$  に関する 4 次方程式となる。減衰の作用が小さい場合に 2 次近似の方法で近似的に 2 個の 2 次方程式の積  $i$  を表す形で解くことを表す。

$$\Delta = (S^2 + 2G_A S + K_{YA})(S^2 + 2C_{\theta B}S + K_{\theta B}) - (2G_A S + K_{YA})(2C_{\theta B}S + K_{\theta B}) \\ = (S^2 + 2G_A \alpha_1 S + K_{YA} \beta_1)(S^2 + 2C_{\theta B} \alpha_2 S + K_{\theta B} \beta_2) \quad (13)$$

(13) 式より  $2G_A \alpha_1 = 2G_A(1 + \varepsilon_A)$ ,  $K_{YA} \beta_1 = K_{YA}(1 + \varepsilon_B)$ ,  $2C_{\theta B} = 2C_{\theta B}(1 + \varepsilon_C)$ ,  $K_{\theta B} \beta_2 = K_{\theta B}(1 + \varepsilon_D)$  と  $i \in \varepsilon_A \sim \varepsilon_D$  を用いて

$$E_B = \frac{R_m}{1 - R_m \cdot R_w}, \quad \varepsilon_D = -\frac{1}{R_w(1 - R_m \cdot R_w)}, \quad \varepsilon_A = \frac{R_m \{1 + R_w \cdot E_D + R_D(1 + E_D)\}}{1 + E_D - R_m \cdot R_w(1 + E_D)}, \quad \varepsilon_C = \frac{1 + R_w \cdot E_D + R_D(1 + E_D)}{R_D \{R_m \cdot R_w(1 + E_D) - E_B - 1\}}, \quad (13)$$

$$\therefore \therefore R_D = \frac{J_f}{m f_y}, \quad R_m = \frac{J_m^2}{I_q}, \quad R_w = \frac{K_{\theta B}}{K_{YA} \cdot R_m} \text{ である}.$$

ここで  $E_D$  は補正係数を (13) 式に代入して  $G_Y, G_\theta$  を求めよ。

$$\begin{pmatrix} G_Y \\ G_\theta \end{pmatrix} = -\frac{\Delta(F)}{A} \sum_{n=1}^2 \frac{\left(\frac{a_{ny}}{a_{\theta n}}\right)S + \left(\frac{b_{ny}}{b_{\theta n}}\right)}{S^2 + \omega_n^2 S + (\varepsilon_n^2 + p_n^2)}, \quad (14)$$

(14) 式より  $\sum$  中で  $F_n(S)$  はラプラス逆変換式。

$$\mathcal{L}^{-1}[F_n(S)] = f_n(t) = e^{-\varepsilon_n t} \left\{ \left(\frac{a_{ny}}{a_{\theta n}}\right) \cos p_n t + \frac{\left(\frac{b_{ny}}{b_{\theta n}}\right) \varepsilon_n}{p_n} \sin p_n t \right\}, \quad (15)$$

(15) 式を用いて  $Q, R$  の相乗定理により次式のようになる。

$$Q = -\frac{1}{A} \sum_{n=1}^2 \left[ A_n \int_0^T e^{-\varepsilon_n(t-\tau)} \sin p_n(t-\tau - \frac{\varphi_n}{p_n}) F(\tau) d\tau \right], \quad A_n = \frac{\sqrt{a_{ny}^2 p_n^2 + (a_{\theta n} \varepsilon_n + b_{ny})^2}}{p_n}, \quad \varphi_n = \tan^{-1} \left( \frac{a_{ny} \cdot p_n}{a_{\theta n} \cdot \varepsilon_n + b_{ny}} \right) \quad (16)$$

$$R = -\frac{1}{A} \sum_{n=1}^2 \left[ B_n \int_0^T e^{-\varepsilon_n(t-\tau)} \sin p_n(t-\tau - \frac{\varphi_n}{p_n}) F(\tau) d\tau \right], \quad B_n = \frac{\sqrt{a_{\theta n}^2 p_n^2 + (a_{\theta n} \varepsilon_n + b_{\theta n})^2}}{p_n}, \quad \varphi_n = \tan^{-1} \left( \frac{a_{\theta n} \cdot p_n}{a_{\theta n} \cdot \varepsilon_n + b_{\theta n}} \right) \quad (17)$$

$$\therefore Y_{xx} = -\frac{[a]_{xx}}{A_{xx}} \sum_{n=1}^2 \left[ A_n \int_0^T e^{-\varepsilon_n(t-\tau)} \sin p_n(t-\tau - \frac{\varphi_n}{p_n}) [a]_{xx}^T [M]_{xx} \{ \ddot{x}(\tau) \}_{xx} d\tau \right], \quad (16)$$

$$\Theta_{xx} = -\frac{[b]_{xx}}{A_{xx}} \sum_{n=1}^2 \left[ B_n \int_0^T e^{-\varepsilon_n(t-\tau)} \sin p_n(t-\tau - \frac{\varphi_n}{p_n}) [a]_{xx}^T [M]_{xx} \{ \ddot{x}(\tau) \}_{xx} d\tau \right], \quad (17)$$

$\neq a_{ny}, b_{ny}, a_{\theta n}, b_{\theta n}$  は次式より定まる。

$$\begin{bmatrix} -2E_1(1-\frac{E_2}{E_1}), & 1, & 1 \\ -P_1\left\{1+\frac{E_2^2}{P_1^2}-\frac{E_2^2}{P_2^2}-\left(\frac{P_2}{P_1}\right)^2\left(\frac{E_2}{P_2}\right)^2\right\}, 2\left(\frac{E_2}{P_2}\right)\left(\frac{P_2}{P_1}\right), & 2\left(\frac{E_2}{P_1}\right) \\ 0, & \left(\frac{P_2}{P_1}\right)^2\left(1+\frac{E_2}{P_2}\right)^2, & 1+\frac{E_2^2}{P_1^2} \end{bmatrix} = C' \text{ で } \begin{bmatrix} a_{1y} \\ b_{1y} \\ b_{2y} \end{bmatrix} = C' \begin{bmatrix} 1 \\ 2\frac{C_{OB}}{P_1} \\ \frac{K_{OB}}{P_1^2} \end{bmatrix}, \begin{bmatrix} a_{1\theta} \\ b_{1\theta} \\ b_{2\theta} \end{bmatrix} = C' \begin{bmatrix} 0 \\ 2\frac{C_{OB}}{P_1} \\ \frac{K_{OB}}{P_1^2} \end{bmatrix}; \begin{array}{l} a_{2y} = -a_{1y} \\ a_{2\theta} = -a_{1\theta} \end{array}$$

### 3. 2自由度系の場合の計算例

数値計算に用いる諸元は次ぎのとおりであり、外力としての地震動と1968年5月16日の十勝沖地震、幌満橋（国道235号）G.L. の水平動記録を用いた。

$$M_1 = M_2 = \frac{W}{g} = 10 \times 10^3 / 980 \text{ kg cm}^2 \text{ sec}^2, K_0 = 2K_1 = K_2, K_1 = (2 \times 2\pi)^2 M, \text{ kg cm}^2, \lambda_0 = 2\lambda_1 = \lambda_2, \lambda/m_1 = 0.3 \text{ sec}^{-1},$$

$$Y_1 = Y_2 = 200 \text{ cm}, I_{Q1} = I_{Q2} = \sqrt{K_0/m_1} = 4 \times 2\pi \text{ sec}^{-1}, \sqrt{K_0/I_Q} = 5 \times 2\pi \text{ sec}^{-1}, M_0 = 3M_1 = M_2, \frac{I^3 M_0}{I_Q} = 0.4 \text{ sec}^{-1}, \frac{r^2 m}{I_Q} = 6.25030,$$

固有値と並び、Modal Matrix  $\Psi$ ,  $\Psi_0$  を求めて次ぎのようになる。

$$(K_y - \omega_y^2 M) \alpha = 0, (K_\theta - \omega_\theta^2 I_Q) \beta = 0 \quad (18), (19)$$

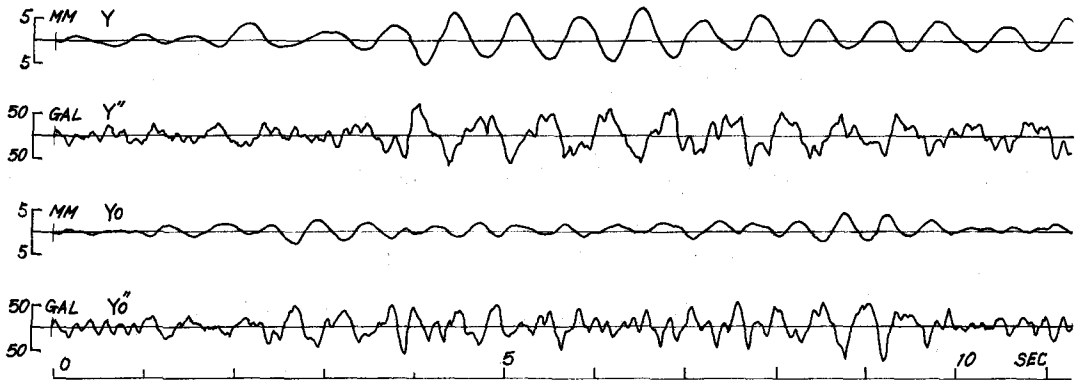
$$(18), (19) \text{ 式より } \omega_y^2 = 2K_1/m_1, \omega_y^2 = 4 \text{ rad/sec}, \omega_\theta^2 = 7.30286 \text{ rad/sec}, \omega_\theta^2 = 3.69727 \text{ rad/sec}, \Psi_0 \text{ は}$$

$$\Psi = \sqrt{\frac{m_1}{m_1 I_Q^2}} \begin{bmatrix} 1, & 1 \\ 1, & 1 \end{bmatrix}, \Psi_0 = \sqrt{\frac{I_Q}{I_Q}} \begin{bmatrix} 0.95710, & 0.20978 \\ 0.20978, & 0.95710 \end{bmatrix}, \Psi_0 \text{ はより結局次式の連立微分方程式を得る}, r = \text{定数である}.$$

$$\begin{bmatrix} 1, & 0 \\ 0, & 1 \end{bmatrix} \ddot{\Psi} + 2 \begin{bmatrix} \ddot{dy}, & 0 \\ 0, & 2\ddot{d\theta} \end{bmatrix} \dot{\Psi} + \begin{bmatrix} \omega_y^2, & 0 \\ 0, & \omega_\theta^2 \end{bmatrix} \Psi - r \begin{bmatrix} \omega_y^2, & 0 \\ 0, & \omega_\theta^2 \end{bmatrix} \Theta = \begin{bmatrix} \ddot{z}, & 0 \\ 0, & \ddot{z} \end{bmatrix} \quad (20)$$

$$\begin{bmatrix} 1, & 0 \\ 0, & 1 \end{bmatrix} \ddot{\Theta} + 2 \begin{bmatrix} \ddot{d\theta}, & 0 \\ 0, & 2\ddot{d\theta} \end{bmatrix} \dot{\Theta} + \begin{bmatrix} \omega_\theta^2, & 0 \\ 0, & \omega_\theta^2 \end{bmatrix} \Theta - \frac{rm}{I_Q} \begin{bmatrix} \omega_y^2, & 0 \\ 0, & \omega_\theta^2 \end{bmatrix} \Psi - \frac{2}{r} \begin{bmatrix} \ddot{d\theta}, & 0 \\ 0, & 2\ddot{d\theta} \end{bmatrix} \dot{\Psi} = \begin{bmatrix} 0, & 0 \\ 0, & 0 \end{bmatrix} \quad (21)$$

下図は(20), (21)式より  $y$ ,  $\ddot{y}$  のみについて求め、またこれらと比較するためロッキングの考慮した場合の変位  $y_0$ , 加速度  $\ddot{y}_0$  を X-Yプロット上で図化したものである。



### 4. あとがき

本報告はロッキング振動と水平振動との合成振動について一解法を述べ、振動減衰の作用の小さい場合、近似的に  $\ddot{y} = \ddot{y}_0 + \frac{1}{r} \ddot{y}_0$ ,  $\ddot{y}_0 = \frac{r^2 m}{I_Q} \ddot{y}$  より補正係数を用いて応答を求める方法を示した。

計算例として北海道内で記録された一地震を用いロッキングの影響を考慮すると、水平変位、位置加剛体の重心より下にあり場合、変位、加速度とも増加するのみ見られる。

さうに各剛体の重心位置が異なる場合など一般的な応答特性について研究を進めようとする。